

УДК 532.517.4

## ЧИСЛЕННОЕ МОДЕЛИРОВАНИЕ ОСЕСИММЕТРИЧНЫХ ТУРБУЛЕНТНЫХ СТРУЙ

А. Г. Деменков\*, Б. Б. Илюшин<sup>\*,\*\*\*</sup>, Г. Г. Черных<sup>\*\*,\*\*</sup>

\* Институт теплофизики им. С. С. Кутателадзе СО РАН, 630090 Новосибирск

\*\* Институт вычислительных технологий СО РАН, 630090 Новосибирск

\*\*\* Новосибирский государственный университет, 630090 Новосибирск

E-mails: demenkov@itp.nsc.ru, ilyushin@itp.nsc.ru, chernykh@ict.nsc.ru

С использованием полуэмпирической модели турбулентности второго порядка, включающей дифференциальные уравнения переноса нормальных рейнольдсовых напряжений, выполнено численное моделирование течения в осесимметричных турбулентных струях. Показано, что результаты расчетов удовлетворительно согласуются с экспериментальными данными.

Ключевые слова: осесимметричная турбулентная струя, дифференциальные уравнения переноса рейнольдсовых напряжений, метод конечных разностей, численное моделирование.

**Введение.** Исследованию задачи о динамике круглой турбулентной струи, являющейся классической задачей экспериментальной, теоретической и вычислительной гидродинамики, посвящено большое количество работ (см. работы [1–14] и библиографию к ним). В [1, 8] экспериментально изучалось течение в круглых турбулентных струях на достаточно больших удалениях от источников. Эксперименты [1] проведены при числе Рейнольдса  $Re = U_{jet}D/\nu = 10^5$ , определяемом по скорости истечения  $U_{jet}$  и диаметру сопла  $D$  при  $x/D = 30 \div 100$ ; эксперименты [8] — при  $Re = 1,1 \cdot 10^4$ ,  $x/D = 30 \div 160$ . Исследования [1, 8] проводились по разным методикам, и изучаемые струи различались по ряду характерных параметров. Возможно, это послужило причиной различной интерпретации полученных данных. В [9] экспериментально изучена динамика течения в ближней области турбулентных струй газов разных плотностей (неавтономные режимы) в спутном потоке, полученные данные сопоставлены с результатами [1, 8]. Лабораторные измерения выполнены при  $Re = 2,1 \cdot 10^4$  для  $x/D = 0 \div 30$ . В [10] приведены результаты численного моделирования круглых турбулентных струй с использованием модели, включающей уравнения переноса для всех компонент тензора рейнольдсовых напряжений и скорости диссипации кинетической энергии турбулентности. Показано, что результаты расчетов удовлетворительно согласуются с экспериментальными данными [9]. В [11] выполнен подробный анализ данных, полученных при экспериментальном и теоретическом (в том числе численном) изучении таких течений. В работе [14], посвященной численному исследованию турбулентной свободной круглой затопленной струи методом LES (методом крупных вихрей) моделируются условия экспериментов [12, 13], проводится сопоставление рассчитанных и измеренных характеристик турбулентности, а также анализируется влияние модельных констант и параметров численного алгоритма на точность расчетов.

Работа выполнена при финансовой поддержке Российского фонда фундаментальных исследований (коды проектов 06-01-00724-а, 07-01-00363-а).

Несмотря на то что различные струйные турбулентные течения исследованы достаточно подробно, ряд вопросов остался неизученным. В частности, численные модели осесимметричных струйных течений недостаточно полны. В [10, 14] выполнено численное моделирование, результаты которого сопоставлены с экспериментальными данными в ближней области струи. В [11] приведен обзор результатов численного анализа течения в условиях экспериментов [1, 2] с помощью ряда полуэмпирических моделей турбулентности. Численное моделирование течения в дальней области с использованием наиболее полных (из известных авторам настоящей работы) экспериментальных данных [8] не проводилось. Отсутствует единая математическая модель, позволяющая рассчитывать как ближнюю ( $x/D \leq 30$ ), так и дальнюю ( $x/D \geq 30$ ) области струи. Устранению отмеченных пробелов посвящена данная работа.

**1. Постановка задачи.** Для описания течения используется следующая система осредненных уравнений (приближение пограничного слоя):

$$U \frac{\partial U}{\partial x} + V \frac{\partial U}{\partial r} = -\frac{1}{r} \frac{\partial}{\partial r} r \langle u'v' \rangle; \quad (1)$$

$$\frac{\partial U}{\partial x} + \frac{\partial V}{\partial r} + \frac{V}{r} = 0. \quad (2)$$

Здесь  $(x, r, \varphi)$  — цилиндрическая система координат с началом на срезе сопла;  $U, V, u', v', w'$  — соответствующие компоненты скорости осредненного и пульсационного движения;  $\langle u'v' \rangle$  — касательное рейнольдсово напряжение; угловые скобки означают осреднение. В правой части уравнения (1) слагаемое с молекулярной вязкостью предполагается малым и поэтому опущено. Зависимость искомых функций от координаты  $\varphi$  отсутствует, так как рассматриваемые струи являются осесимметричными.

Система уравнений (1), (2) не замкнута. Касательное турбулентное напряжение определяется из известного соотношения Родри [2, 5]

$$\langle u'v' \rangle = \lambda \langle v'^2 \rangle \frac{\partial U}{\partial r}, \quad \lambda = -\frac{1 - C_2}{C_1 - 1 + P/\varepsilon} \frac{e}{\varepsilon}. \quad (3)$$

Нормальные рейнольдсовы напряжения ( $2e = \langle u'^2 \rangle + \langle v'^2 \rangle + \langle w'^2 \rangle$ ) и скорость диссипации  $\varepsilon$  находятся из уравнений переноса:

$$U \frac{\partial \langle u'^2 \rangle}{\partial x} + V \frac{\partial \langle u'^2 \rangle}{\partial r} = -2(1 - \alpha) \langle u'v' \rangle \frac{\partial U}{\partial r} - \frac{2}{3} \varepsilon - C_1 \frac{\varepsilon}{e} \left( \langle u'^2 \rangle - \frac{2}{3} e \right) + \frac{2}{3} \alpha P + \frac{C_s}{r} \frac{\partial}{\partial r} \left( \frac{re \langle v'^2 \rangle}{\varepsilon} \frac{\partial \langle u'^2 \rangle}{\partial r} \right); \quad (4)$$

$$U \frac{\partial \langle v'^2 \rangle}{\partial x} + V \frac{\partial \langle v'^2 \rangle}{\partial r} = -\frac{2}{3} \varepsilon - C_1 \frac{\varepsilon}{e} \left( \langle v'^2 \rangle - \frac{2}{3} e \right) + \frac{2}{3} \alpha P + \frac{C_s}{r} \frac{\partial}{\partial r} \frac{re}{\varepsilon} \langle v'^2 \rangle \frac{\partial \langle v'^2 \rangle}{\partial r} - \frac{2C_s e}{r\varepsilon} \langle w'^2 \rangle \frac{\langle v'^2 \rangle - \langle w'^2 \rangle}{r}; \quad (5)$$

$$U \frac{\partial \langle w'^2 \rangle}{\partial x} + V \frac{\partial \langle w'^2 \rangle}{\partial r} = -\frac{2}{3} \varepsilon - C_1 \frac{\varepsilon}{e} \left( \langle w'^2 \rangle - \frac{2}{3} e \right) + \frac{2}{3} \alpha P + \frac{C_s}{r} \frac{\partial}{\partial r} \frac{re}{\varepsilon} \langle v'^2 \rangle \frac{\partial \langle w'^2 \rangle}{\partial r} + \frac{2C_s e}{r\varepsilon} \langle w'^2 \rangle \frac{\langle v'^2 \rangle - \langle w'^2 \rangle}{r}; \quad (6)$$

$$U \frac{\partial \varepsilon}{\partial x} + V \frac{\partial \varepsilon}{\partial r} = \frac{C_\varepsilon}{r} \frac{\partial}{\partial r} \frac{re}{\varepsilon} \langle v'^2 \rangle \frac{\partial \varepsilon}{\partial r} + \left( C_{\varepsilon 1} \frac{P}{\varepsilon} - C_{\varepsilon 2} \right) \frac{\varepsilon^2}{e}. \quad (7)$$

Выражение для величины порождения энергии турбулентности  $P$  в (3)–(7) имеет следующий вид:

$$P = -\langle u'v' \rangle \frac{\partial U}{\partial r}.$$

В данной работе математическая модель близка к модели, изложенной в работах [15, 16], в которых изучался закрученный турбулентный след за самодвижущимся телом, и является ее упрощением для случая незакрученного течения. Структура модели обусловлена анизотропией вырождения турбулентности в струе.

В уравнениях и соотношениях (3)–(7) величины  $C_s$ ,  $C_\varepsilon$ ,  $\alpha$ ,  $C_1$ ,  $C_2$ ,  $C_{\varepsilon 1}$ ,  $C_{\varepsilon 2}$  — эмпирические постоянные. В настоящей работе используются их стандартные значения [5, 6]:  $C_s = 0,22$ ,  $C_\varepsilon = 0,17$ ,  $\alpha = 0,6$ ,  $C_1 = 2$ ,  $C_2 = 0,6$ ,  $C_{\varepsilon 1} = 1,45$ ,  $C_{\varepsilon 2} = 1,92$ .

При  $x = x_0$  в качестве начальных условий задавались согласованные с экспериментальными данными распределения  $U$ ,  $\langle u'^2 \rangle$ ,  $\langle v'^2 \rangle$ ,  $\langle w'^2 \rangle$ ,  $\varepsilon$ . Начальные значения  $\varepsilon$  определялись из известного соотношения Колмогорова  $\varepsilon = \gamma e^{3/2}/r_{1/2}$ , где величина  $r_{1/2}$  находится из равенства  $e(x_0, r_{1/2}) = e(x_0, 0)/2$ ;  $\gamma$  — эмпирическая постоянная. При  $r \rightarrow \infty$  моделировался либо невозмущенный, либо спутный поток. В случае невозмущенного потока величины  $U$ ,  $\langle u'^2 \rangle$ ,  $\langle v'^2 \rangle$ ,  $\langle w'^2 \rangle$ ,  $\varepsilon$  полагались равными нулю. При моделировании спутного потока для указанных выше переменных ставилось условие Неймана. При  $r = 0$  искомые величины удовлетворяли условиям

$$\frac{\partial U}{\partial r} = \frac{\partial \langle u'^2 \rangle}{\partial r} = \frac{\partial \langle v'^2 \rangle}{\partial r} = \frac{\partial \langle w'^2 \rangle}{\partial r} = \frac{\partial \varepsilon}{\partial r} = V = 0.$$

Начальные и граничные условия для  $\langle v'^2 \rangle$  и  $\langle w'^2 \rangle$  таковы, что  $\langle v'^2 \rangle \equiv \langle w'^2 \rangle$ .

Переменные в задаче могут быть обезразмерены с использованием в качестве масштабов осевой скорости струи на срезе сопла  $U_{jet}$  и характерной длины  $D$  (диаметра сопла).

При численном решении осуществлялся переход к переменной  $\psi$ :  $rU = \partial\psi/\partial r$ ,  $-rV = \partial\psi/\partial x$ , вводилась равномерная сетка и использовались неявные конечно-разностные схемы с итерациями по нелинейности. Алгоритм решения задачи обладает свойством консервативности по отношению к закону сохранения импульса; его детальное тестирование проведено в [16].

В расчетах при моделировании условий экспериментов [1, 8] и [9] граничные условия из бесконечности сносились на достаточно удаленную границу:  $r/D = 100$  и  $r/D = 10$  соответственно. Для начальных условий [1, 8] шаг разностной сетки по переменной  $x$  выбирался равным  $h_x/D = 0,005$ , по пространственной переменной —  $h_r/D = 0,2$ . Расчеты течения в ближней области струи [9] проводились при  $h_x/D = 5 \cdot 10^{-5}$ ,  $h_r/D = 0,02$ . Уменьшение значений этих параметров в два раза приводило к отклонениям в сеточном аналоге нормы пространства непрерывных функций, не превышающим 1 %.

**2. Результаты расчетов.** Первая серия численных экспериментов выполнена для дальней области струи [1, 8]. Начальные условия в расчетах задавались при  $x/D = 60$ , так как для меньших расстояний экспериментальные профили нормальных рейнольдсовых напряжений и осредненной продольной компоненты скорости в [1, 8] не представлены. Рассчитанные и экспериментально измеренные осевые значения осредненной продольной компоненты скорости приведены на рис. 1 (на рис. 1, 2 приняты обозначения из работ [1, 8]). Видно, что результаты расчетов достаточно хорошо согласуются с экспериментальными данными.

Поперечные распределения продольной компоненты скорости  $U$ , касательного рейнольдсова напряжения  $\langle u'v' \rangle$  и интенсивностей турбулентных флуктуаций горизонтальной ( $\sigma_u = \sqrt{\langle u'^2 \rangle}$ ) и вертикальной ( $\sigma_v = \sqrt{\langle v'^2 \rangle}$ ) компонент скорости представлены на рис. 2. Видно, что результаты расчетов удовлетворительно согласуются с экспериментальными данными.

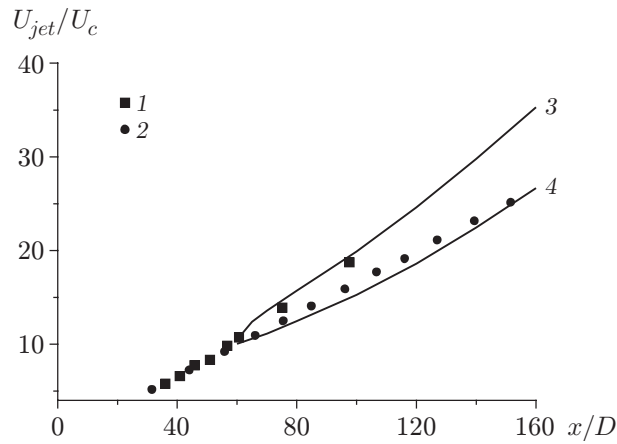


Рис. 1. Изменение осевых значений средней скорости  $U_c$ :

1, 3 —  $Re = 10^5$ ,  $x/D = 30 \div 100$  (1 — экспериментальные данные [1]; 3 — результаты расчета); 2, 4 —  $Re = 1,1 \cdot 10^4$ ,  $x/D = 30 \div 160$  (2 — экспериментальные данные [8]; 4 — результаты расчета)

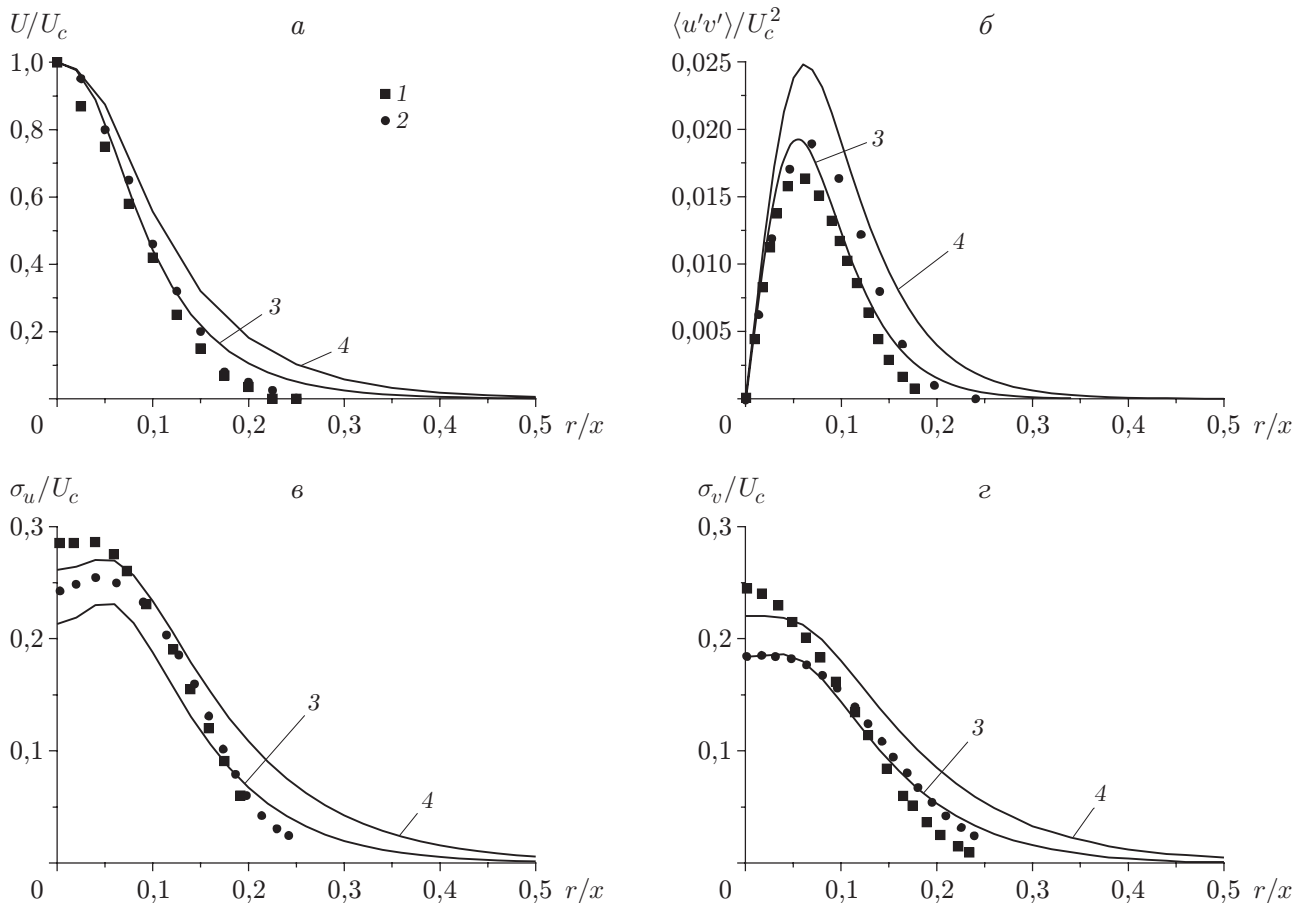


Рис. 2. Радиальные профили осредненной продольной компоненты скорости  $U$  (а), касательного рейнольдсова напряжения  $\langle u'v' \rangle$  (б) и интенсивностей  $\sigma_u$ ,  $\sigma_v$  турбулентных флуктуаций компонент скорости (в, г):

1, 3 —  $x/D = 100$  (1 — экспериментальные данные [1]; 3 — результаты расчета с начальными условиями из [1]); 2, 4 —  $x/D = 160$  (2 — экспериментальные данные [8]; 4 — результаты расчета с начальными условиями из [8])

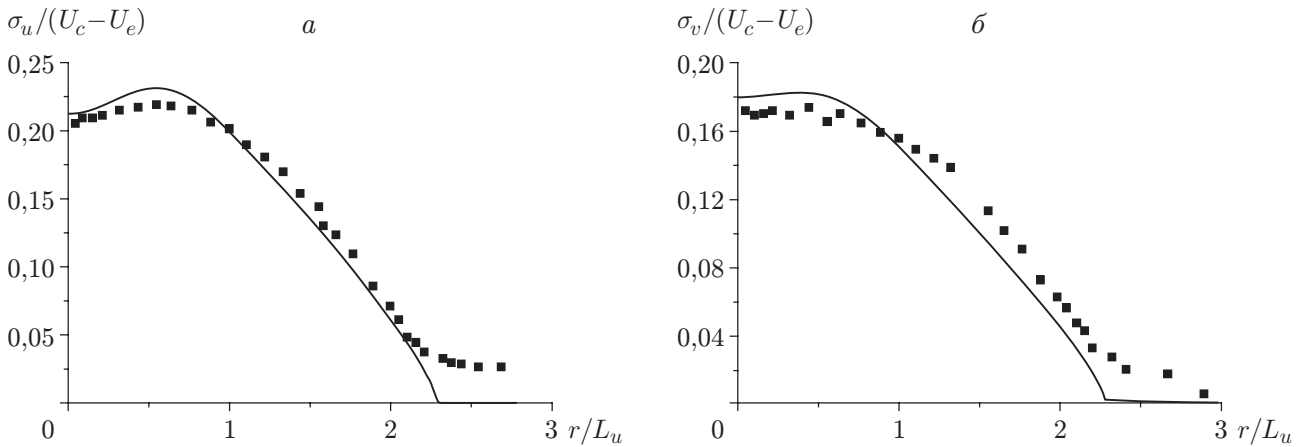


Рис. 3. Радиальные профили  $\sigma_u$  (а) и  $\sigma_v$  (б) при  $x/D = 20$ : точки — экспериментальные данные [9]; линии — результаты расчета

С целью изучения поведения характеристик турбулентной струи на больших расстояниях от среза сопла выполнен численный эксперимент, в котором анализировалось изменение рассчитанных характерных масштабов турбулентности  $\sqrt{e_0}/U_c$ ,  $U_0/U_c$ ,  $L_U/D$ ,  $L_e/D$  в зависимости от расстояния. Масштабы длины определялись из соотношений

$$L_U: U(x, L_U) = \frac{1}{2} U(x, 0) = \frac{1}{2} U_0, \quad L_e: e(x, L_e) = \frac{1}{2} e(x, 0) = e_0.$$

Установлено, что при  $x/D \geq 500$  законы вырождения близки к известным классическим законам вырождения  $U_c \sim x^{-1}$ ,  $\sqrt{e_0} \sim x^{-1}$ ,  $L_U \sim x^1$ ,  $L_e \sim x^1$ . При этом наблюдалось аффинное подобие поперечных распределений соответствующих функций, которые для начальных условий [1, 8] практически совпали. Анализировалось также поведение отношения порождения энергии турбулентности к скорости ее диссипации  $P/\varepsilon$ . Оказалось, что максимальное значение этой величины заключено в интервале  $P/\varepsilon \in (0,80, 0,95)$  и с увеличением расстояния практически не уменьшается (для сравнения отметим, что в закрученном турбулентном следе за самодвижущимся телом [16] максимум  $P/\varepsilon \approx 0,3$  при  $x/D = 20$  и с увеличением расстояния от тела уменьшается).

Следующая серия численных экспериментов выполнена на основе экспериментальных данных работы [9], в которой изучалось течение в ближней области турбулентной струи. При проведении расчетов начальные условия ставились при  $x/D = 14$ . Попытка задать начальные условия на меньших расстояниях от среза сопла приводила к значительным погрешностям, обусловленным, по-видимому, применением в данной работе приближения пограничного слоя.

На рис. 3 представлены рассчитанные и измеренные поперечные распределения интенсивностей пульсаций скорости  $\sigma_u$  и  $\sigma_v$  при  $x/D = 20$  ( $U_e$  — скорость спутного потока). Результаты расчетов удовлетворительно согласуются с экспериментальными данными. Кроме того, имеет место удовлетворительное согласие с экспериментальными данными [9] по вырождению осевых значений интенсивностей  $\sigma_u$ ,  $\sigma_v$ , средней скорости  $U$ , полуширины струи  $L_u$ , а также с экспериментальными поперечными распределениями  $\langle u'v' \rangle$ .

Как отмечено выше, рассматриваемая математическая модель является упрощением математической модели, изложенной в работах [15, 16], для случая незакрученных струйных течений. Без какой-либо дополнительной калибровки модель позволяет детально описать течение в струе и закрученном турбулентном следе за самодвижущимся телом. Таким образом, полуэмпирические модели турбулентности являются достаточно универсальными.

**Заключение.** С использованием математической модели, включающей дифференциальные уравнения переноса нормальных рейнольдсовых напряжений, построена численная модель динамики турбулентной осесимметричной струи. Результаты расчетов удовлетворительно согласуются с экспериментальными данными как для ближней, так и для дальней областей течения.

#### ЛИТЕРАТУРА

1. **Wyganski I., Fiedler H.** Some measurements in the self-preserving jet // *J. Fluid Mech.* 1969. V. 38. P. 577–612.
2. **Rodi W.** The prediction of free turbulent boundary layers by use of two-equation model of turbulence: Ph. D. thesis. L., 1972.
3. **Handbook of turbulence.** V. 1. Fundamentals and applications / Ed. by W. Frost, T. Moulden. N. Y.; L.: Plenum press, 1977.
4. **Schetz J. A.** Injection and mixing in turbulent flow. N. Y.: New York Univ., 1980. (Progress in astronautics and aeronautics; V. 68).
5. **Rodi W.** Turbulence models and their application in hydraulics. Karlsruhe: Univ. of Karlsruhe, 1980.
6. **Лаундер Б. Е., Морс А.** Численный расчет осесимметричных сдвиговых течений с использованием замыканий для напряжений // *Турбулентные сдвиговые течения 1: Пер. с англ. / Под ред. А. С. Гиневского.* М.: Машиностроение, 1982. С. 291–310.
7. **Абрамович Г. Н.** Теория турбулентных струй / Г. Н. Абрамович, Т. А. Гиршович, С. Ю. Крашенинников, А. Н. Секундов, И. П. Смирнова. М.: Наука, 1984.
8. **Panchapakesan N. R., Lumley J. L.** Turbulence measurements in axisymmetric jets of air and helium. Pt 1. Air jet // *J. Fluid Mech.* 1993. V. 246. P. 197–223.
9. **Amielh M., Djeridane T., Anselmet F., Fulachier L.** Velocity near-field of variable density turbulent jets // *Intern. J. Heat Mass Transfer.* 1996. V. 39, N 10. P. 2149–2164.
10. **Gharbi A., Ruffin E., Anselmet F., Schiestel R.** Numerical modelling of variable density turbulent jets // *Intern. J. Heat Mass Transfer.* 1996. V. 39, N 9. P. 1865–1882.
11. **Piquet J.** Turbulent flows: models and physics. Berlin; Heidelberg: Springer-Verlag, 1999.
12. **Алексеенко С. В., Бильский А. В., Маркович Д. М.** Применение метода цифровой трассерной визуализации для анализа турбулентных потоков с периодической составляющей // *Приборы и техника эксперимента.* 2004. № 5. С. 145–153.
13. **Alekseenko S. V., Bilsky A. V., Dulin V. M., et al.** Non-intrusive determination of turbulent energy balance in free and confined jet flows // *Proc. of the 4th Intern. symp. on turbulence and shear flow phenomena (TSFP-4), Williamsburg (VA, USA), 27–29 June 2005.* P. 605–610.
14. **Илюшин Б. Б., Красинский Д. В.** Моделирование динамики турбулентной круглой струи методом крупных вихрей // *Теплофизика и аэромеханика.* 2006. Т. 13, № 1. С. 49–61.
15. **Васильев О. Ф., Деменков А. Г., Костомаха В. А., Черных Г. Г.** Численное моделирование закрученного турбулентного следа за самодвижущимся телом // *Докл. РАН.* 2001. Т. 376, № 2. С. 195–199.
16. **Chernykh G. G., Demenkov A. G., Kostomakha V. A.** Swirling turbulent wake behind a self-propelled body // *Intern. J. Comput. Fluid Dynamics.* 2005. V. 19, N 5. P. 370–379.

*Поступила в редакцию 6/VI 2007 г.,  
в окончательном варианте — 4/IX 2007 г.*